

長岡技術科学大学大学院 元重 浩
 長岡技術科学大学 桃井 清至
 長岡技術科学大学 滝沢 智

1.はじめに

現在、大量に発生する下水汚泥を建設資材として利用するため、溶融処理の検討が進められている。溶融スラグは、融液の冷却方法によって水碎スラグ、空冷スラグ結晶化スラグに大別されるが、前二者はガラス質であるのに対し結晶化スラグは強度も強く、骨材としての利用範囲も広い。しかし、冷却方法や汚泥の組成と結晶化機構は未だ不明な点が多く、本研究では、汚泥成分の結晶化への影響について検討した。

2. 実験方法

実験は2系列で行った。実験1では供試汚泥として高分子凝集剤を使用している2ヶ所の下水処理場の汚泥を用いた。表-1にその焼却灰の組成を示す。A処理場汚泥はSiO₂を多く含有し、B処理場汚泥はFe₂O₃を多く含有しているが、共に主成分はSiO₂、Fe₂O₃、Al₂O₃、CaOの4種類で全体の70%~80%を占め、塩基度(CaO/SiO₂)は各々0.1、0.2である。

実験2はFe₂O₃、SiO₂、CaOを3成分として、モル比で20~80%の範囲で混合した人工汚泥を供試汚泥とした。溶融スラグの作成は、電気炉で各試料を1400°Cで3時間溶融し、その後、炉冷(10.5°C/min)して得た。溶融スラグ中の結晶鉱物はX線回折を用いて同定した。表-2はX線回折の条件を示す。

3. 実験結果

実験1：図-1にA処理場汚泥(a)とB処理場汚泥(b)のX線回折パターン図を示す。また表-3に各スラグの析出結晶鉱物を示す。

A処理場汚泥の溶融スラグ(a)のX線回折パターンは、(b)に比べハローの部分が多く、大部分が主成分であるSiO₂を含めたガラス質であると推察される。溶融処理では汚泥の塩基度が重要な因子となるが、ガラス形成酸化物SiO₂に対しアルカリ成分量比が高くなると融点は低下していく。また、塩基度が等しい場合、塩基度構成成分以外の成分量が結晶化へ影響を与える。A、B処理場汚泥の塩基度は共に0.11、0.24と低いが、B処理場汚泥中にはFe₂O₃が多く、主成分であるFe化合物の結晶が析出している。しかし、A処理場の主成分であるSiO₂の析出はなかった。

表-3の析出結晶鉱物の構成モル比から、A、B処理場各々の汚泥の最大結晶量は、4.4%、52.4%となった。

実験2：SiO₂含有量と他成分との構成比の影響を検討するため、Fe₂O₃、SiO₂、CaOを3成分とする人工汚泥を各モル比に調整し、溶融処理し、析出する結晶鉱物と結晶化度

表-1 A, B処理場焼却灰組成

| | Fe ₂ O ₃ | SiO ₂ | Na ₂ O | K ₂ O | Al ₂ O ₃ | CaO | P ₂ O ₅ | SO ₃ | MgO | CaO/SiO ₂ |
|------|--------------------------------|------------------|-------------------|------------------|--------------------------------|------|-------------------------------|-----------------|------|----------------------|
| A処理場 | 10.66 | 47.03 | 1.40 | 2.63 | 16.25 | 5.16 | 10.32 | 0.05 | 3.58 | 0.11 |
| B処理場 | 52.41 | 14.89 | 2.68 | 1.70 | 5.93 | 3.57 | 14.85 | 0.93 | 3.05 | 0.24 |

表-2 X線回折条件

| | |
|------------------|------------------|
| 管 球 : | Cu |
| 管 電 壓 : | 40kV, 電流 : 100mA |
| サブタングル角 : | 0.01° |
| 波 長 : | 1.54056Å |
| K _α : | 除去実行 |
| 結晶同定 : | 'ル'ック'ラウド'除去 |

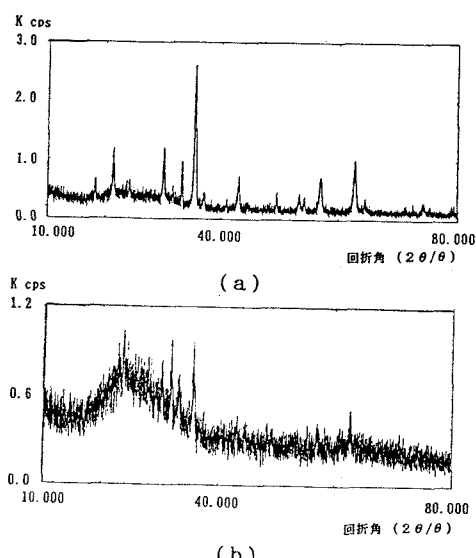


図-1 A, B処理場汚泥X線回折図

を検討した。表-4に結果を示す。結晶化の判定は、析出結晶の構成モル比が全体の50%を超える場合を基準に考えた。図-3に結果を示す。

2成分系の調質サンプルは、すべて溶融しなかった。また、添加した Fe_2O_3 は、そのモル%の大小にかかわらず溶融したすべてのサンプルに単体の Fe_2O_3 , γ - Fe_2O_3 として析出が認められた。3成分系のサンプルについては、その構成モル比が異なるだけで析出してくる結晶鉱物も異なり、 Fe_2O_3 の存在下では、 CaO は自体のモル比が SiO_2 のモル比以下の場合、 SiO_2 の化合物としての結晶が析出した。

Fe_2O_3 - CaO - SiO_2 系人工汚泥では、 Fe_2O_3 の含有量が多く相対的に SiO_2 が少なくなれば、塩基度調整とは無関係にその結晶化は進行するといえる。

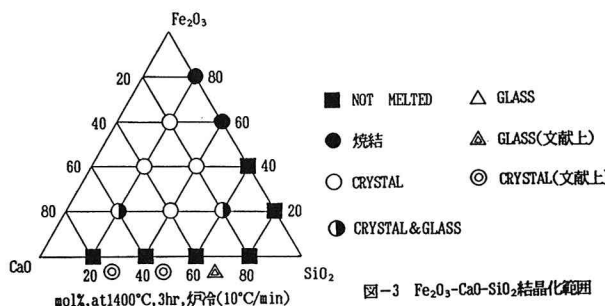
図-3 Fe_2O_3 - CaO - SiO_2 結晶化範囲

表-3 A, B処理場溶融スラグの析出結晶鉱物

| 汚泥 | 溶融処理 | 析出結晶鉱物 |
|----|--------------|---|
| A | 1400°C, 3hr | Fe_2O_3 , $\text{Ca}_4(\text{Fe}, \text{Mg})_5(\text{PO}_4)_6$ |
| B | 冷却10.5°C/min | γ - Fe_2O_3 , Fe_2O_3 , $\text{Ca}_5\text{Fe}_2(\text{SiO}_4)_3$, FeAl_2O_4 |

表-4 人工汚泥のX線回折結果

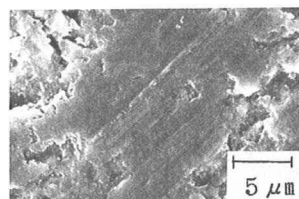
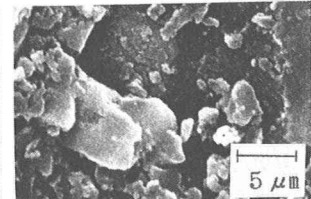
| サンプル試料 | 析出結晶 | 結晶化 |
|---|---|-----|
| Fe_2O_3 - CaO - SiO_2 (mol%) | | |
| 20-60-20 | $\text{CaFe}(\text{SiO}_4)_2$, Fe_2O_3 | ● |
| 20-40-40 | CaFe_3O_5 , $\text{Ca}_6(\text{SiO}_4)(\text{Si}_3\text{O}_{10})$, γ - Fe_2O_3 , Fe_2O_3 | ○ |
| 20-20-60 | γ - Fe_2O_3 , Fe_2O_3 , CaSi_4O_8 | ● |
| 20- - 80 | NOT MELTED | ■ |
| 40-40-20 | CaFe_4O_7 , γ - Fe_2O_3 | ○ |
| 40-20-40 | γ - Fe_2O_3 , Fe_2O_3 , $\text{Ca}_3\text{Si}_2\text{O}_7$, CaSi_4O_8 | ○ |
| 40- - 60 | NOT MELTED | ■ |
| 60-20-20 | γ - Fe_2O_3 , Fe_2O_3 , $\text{Ca}_5\text{Fe}_2(\text{SiO}_4)_3$, $\text{Ca}_3\text{Si}_2\text{O}_7$ | ○ |
| 60- - 40 | NOT MELTED | ● |
| 80- - 20 | NOT MELTED | ● |
| CaO-Si系 | NOT MELTED | ■ |

写真1は、塩基度0.5に調整したB処理場の汚泥を SiO_2 が全体の40%, Fe_2O_3 が10%になるように調質した溶融スラグのSEM写真であり、写真2は同じく塩基度0.5で SiO_2 を40%, Fe_2O_3 を30%に調質した溶融スラグである。写真1は、ガラス質としての特徴的な平滑な面が広がっているのに対し、写真2は多量の粒塊の存在が、X線回折からも Fe_2O_3 または Fe_2O_3 化合物としての結晶が析出していることを示している。

4.まとめ

実際に、多成分からなる下水汚泥は、自体がガラス質でほぼ安定状態といえる SiO_2 を結晶として析出させることは困難であり、スラグの結晶化率には、成分組成が大きく効いてくるといえる。

アルカリ酸化物またはアルカリ土類酸化物は、その添加により溶融性、結晶性に大きく影響を及ぼす。 CaO もその一例に過ぎず、今後これらの添加物の使用による結晶化スラグの特性については、さらに検討していく必要がある。

写真1: 10% Fe_2O_3 , 40% SiO_2 写真2: 30% Fe_2O_3 , 40% SiO_2 SEM写真: B処理場調質汚泥溶融スラグ($\text{CaO}/\text{SiO}_2=0.5$)